

논문 2008-45IE-3-8

다중 셀 환경에서 가변대역과 자원예약에 의한 호 제어 방법

(The Call Control Scheme by Variable Bandwidth and Reserved Resource in Multiple Cell Model)

이종갑*, 성홍석**

(Jong-kap Lee and Hong-seok Seong)

요약

CDMA 시스템에서는 각 기지국이 수신하는 총 간섭량에 따라 각 셀에서 동시에 통화할 수 있는 이동 가입자들의 수가 영향을 받는다. 본 연구에서는 다중 셀 CDMA 시스템에서 등가대역 개념을 이용한 호 수락 제어 방법을 사용하며, 신규 호의 차단률 및 핸드오프 호의 절단률에 따라 각 셀의 대역폭을 가변시켜 신규 호와 핸드오프 호를 처리하고 핸드오프 호를 위해서는 자원을 예약해 둔다. 모의실험을 통하여 핸드오프 호를 위해서 자원을 예약해 둬에 따른 시스템의 성능을 분석한다. 예약자원이 많을수록 핸드오프 호의 절단율을 감소함을 알 수 있다.

Abstract

In CDMA system, the number of mobile stations which can be served simultaneously in a base station is limited by the amount of total interference received. Considering the facts, the call admission control method using the effective bandwidth concept is employed in this paper. The bandwidth for a new call and a handoff call is allocated by considering the number of mobile station being served and dynamically assigned by taking account of the blocking rate of new calls and the dropping rate of handoff calls. Also, there is reserved resource for handoff call. We analyze the performance of system according to reserved resource by a simulation study. The more a resource reserved, the less it is the dropping rate of handoff.

Keywords : 등가대역, 호제어, 자원예약, 가변대역

I. 서론

호 수락과 핸드오프 기술은 기존의 이동통신 시스템에서부터 사용되어 왔지만^[1], multi rate 서비스를 위해서는 전송률에 따른 새로운 호의 차단률 및 핸드오프 호의 절단률 분석과 채널 관리 방법, 이동 가입자의 부하 분포 등을 고려한 호 수락에 대한 연구가 필요하게 된다.

핸드오프는 이동통신 시스템에서 호가 설정된 후 이동 가입자와 기지국 망 사이의 무선 채널의 통화 품질을 계속 유지시켜주기 위해 품질이 떨어진 무선 채널을

인접기지국의 양호한 무선 채널로 절체하는 것으로서 셀의 크기에 따라 발생률이 달라진다. 임의의 셀에서 새로운 호 및 핸드오프 호가 발생하였을 때, 가용한 무선 채널이 존재하게 되면 셀에 할당된 무선 채널 중 하나를 이동 가입자에게 할당한다. 그러나 셀에 할당된 모든 무선 채널이 사용 중일 때는 핸드오프 호는 절단된다. 핸드오프 호의 절단은 통화 중인 호가 절단되는 것이므로 이동 가입자가 느끼는 불편함은 신규 호의 기각보다 더 크게 느껴진다. 그러므로 가능한 한 핸드오프 호의 절단률을 낮추는 것이 바람직하다.

다중 셀에서의 핸드오프 제어 방식은 디지털 이동통신에서 사용된 핸드오프 결정 요소인 hysteresis margin, 임계치 레벨 등을 복합적으로 적용하면서 제어하고 있다^[2]. 예를 들면, 속도 임계치가 핸드오프와 불

* 정회원, ** 평생회원, 부천대학 전자과
(Dept. of Electronics, Bucheon College)
접수일자: 2008년7월28일, 수정완료일: 2008년8월22일

록킹률에 따라 동적으로 조정되는 핸드오프율 제어 기법^[3], 전력 세기의 임계치를 이용하는 방법^[4], 이중 큐 모델을 사용한 핸드오프^[5], 우선권 및 FIFO(first in/first out) 큐잉 기법^[6], 핸드오버 결정을 위한 퍼지 논리에 기초한 알고리즘^[7], 측정치를 기본으로 우선권을 부여하는 방법(MBPS: measurement based priorities scheme)^[8] 등 여러 가지 제어 방법이 제안되고 있다.

각 기지국이 수신하는 총 간섭 량에 따라 CDMA 시스템의 각 셀에서 동시에 통화할 수 있는 이동 가입자들의 수는 제약을 받게 된다. 그러므로 각 기지국에서는 새로운 이동 가입자의 호 요구에 대하여 수락 여부를 적절히 제어함에 따라 다중 셀 환경에서 통화중인 이동 가입자의 서비스 품질을 유지하도록 하여야 한다. 호 수락 제어 방법으로는 과부하 상태 비율과 과부하 지속 시간에 의한 제어 방법^[9], 등가대역 개념을 이용한 제어 방법^[1], QoS(Quality of Service) 요구 조건에 기초한 제어 방법^[10] 등이 연구되어 왔다.

본 논문에서는 등가대역 개념을 이용하여 신규 호와 핸드오프 호에 대한 호 수락 여부를 결정한다. 먼저 다중 셀 환경에서 여러 종류의 서비스를 고려하고, 각 기지국에서 이동 가입자의 신규 호의 차단률과 핸드오프 호의 절단률에 따라 각 기지국에 가변적으로 대역폭을 할당한다^[11]. 그리고 핸드오프 호에 대해 자원을 예약해 둔다. 모의실험을 통하여 가변 대역폭을 이용하고 자원을 예약해 둠에 따른 전체 시스템의 성능을 평가한다.

본 논문의 구성은 다음과 같다. II장에서 등가대역 개념에 의한 호 수락에 대해 소개하고 III장에서 가변대역과 자원 예약에 의한 호 수락 제어 및 핸드오프 제어 방식에 대해 서술한다. IV장에서는 모의실험에 사용한 트래픽 모델과 사용된 파라미터를 살펴보고, V장에서 모의실험 결과를 분석하고 VI 장에서 결론을 기술한다.

II. 등가 대역 개념을 이용한 호 수락 제어 방법

음성, 데이터, 비디오 등 다양한 서비스 형태를 수용하는 셀에서 QoS를 만족시키는 이동 가입자의 수를 산출하기 위해 등가대역(effective bandwidth) 개념에 의한 호 수락 제어 절차는 다음과 같다^[1]. 먼저, 신규 호가 발생하였을 때, 기존에 서비스되고 있는 호들의 QoS에 영향을 미치지 않고 새로 발생한 호 요구에 대한 QoS를 만족시킬 수 있는 채널을 할당할 수 있는지를 결정하기 위한 호 수락 영역을 설정한다.

m번째 셀에서 서비스 형태 j인 사용자 i가 요구하는 QoS를 보장받기 위한 전력 P_{mji} 는 식 (1)을 만족시켜야 한다.

$$\frac{P_{mji}}{I_m} \geq \frac{(E_b/N_0)_{mji} R}{W} \quad (1)$$

여기서, I_m 는 셀에서의 총 간섭 량이며, R은 기준 전송률이고, W는 대역폭이다. 식 (1)에서 셀 m의 총 간섭 I_m 는 식 (2)와 같이 얻어진다.

$$I_m = \sum_{j=1}^J \sum_{i=1}^{N_{mj}} a_{mji} \cdot P_{mji} + \sum_{p=1, p \neq m}^M \sum_{j=1}^J \sum_{i=1}^{N_{pj}} a_{pji} \cdot P_{pji} \cdot X_{pji}^{(m)} \quad (2)$$

여기서, N_{mji} 는 셀 m에서 서비스 형태 j인 사용자 수이다. a_{mji} 는 셀 m에서 서비스 형태 j인 사용자 i가 요구하는 채널수이고, $X_{pji}^{(m)}$ 은 셀 p에 있는 서비스 형태 j인 사용자 i에 의해 셀 m에서 받는 간섭 량이며 둘 다 확률 변수이다. 전력 P_{mji} 는 전송률(R)과 잡음당 비트 에너지(E_b/N_0)에 비례한다고 하면 $P_{mji} = K \cdot (E_b/N_0)_{mji} \cdot R$ 가 되고, 이를 식 (1)과 식 (2)에 이용하여 정리하면 식 (3)과 같은 식을 얻어진다.

$$\sum_{j=1}^J \sum_{i=1}^{N_{mj}} a_{mji} \cdot R \cdot (E_b/N_0)_{mji} + \sum_{p=1, p \neq m}^M \sum_{j=1}^J \sum_{i=1}^{N_{pj}} a_{pji} \cdot R \cdot (E_b/N_0)_{pji} \cdot X_{pji}^{(m)} \leq W \quad (3)$$

$m = 1, 2, \dots, M$

식 (3)에서 a_{mji} 와 $X_{pji}^{(m)}$ 가 확률 변수이므로 식 (3)의 좌변이 W를 초과할 확률이 이하가 되는 것을 호 수락 조건으로 한다면 호 수락 여부는 다음 식을 근거로 결정할 수 있다.

$$Pr \left[\sum_{j=1}^J \sum_{i=1}^{N_{mj}} a_{mji} \cdot R \cdot (E_b/N_0)_{mji} + \sum_{p=1, p \neq m}^M \sum_{j=1}^J \sum_{i=1}^{N_{pj}} a_{pji} \cdot R \cdot (E_b/N_0)_{pji} \cdot X_{pji}^{(m)} > W \right] \leq \alpha \quad (4)$$

가우스 근사화 방법을 이용하여 셀 p에 있는 서비스 형태 j의 셀 m에서의 등가 대역폭 κ_{pji}^m 을 구할 수 있으며 식 (3)과 식 (4)로부터 셀 m에서의 호 수락 영역은 다음과 같다.

$$\sum_{j=1}^J \kappa_{mj}^m \cdot N_{mj} + \sum_{p=1, p \neq m}^M \sum_{j=1}^J \kappa_{pji}^m \cdot N_{pj} \leq W \quad (5)$$

여기서, $\kappa_{mj}^m = \mu_{mj} / \left(1 + \frac{2}{z} (1 - \sqrt{1+z}) \right)$, $z = 4\mu_{mj} W / \beta^2 \sigma_{mj}^2$ 이다. 그리고 $\int_{\beta}^{\infty} \frac{1}{\sqrt{2\pi}} e^{-\frac{t^2}{2}} dt = a$ 을

만족하는 값으로 한다. 또한 $\mu_{mj} = E[\alpha \cdot R \cdot (E_b/N_0)_{mj}]$, $\sigma_{mj}^2 = V[\alpha \cdot R \cdot (E_b/N_0)_{mj}]$ 이다.

III. 호 수락 제어 및 핸드오프 제어 방식

신규 호의 차단률과 핸드오프 호의 절단률이 큰 셀에는 큰 대역폭을 적용하여 신규 호와 핸드오프 호의 수락 영역을 결정한다^[11]. 즉 호 요구를 받은 셀을 중심으로 두 번째 계층까지의 셀들 중 신규호의 차단률과 핸드오프 호의 절단률이 가장 큰 셀에는 전체 대역폭을 적용하고 그 외의 셀에 대해서는 차단률과 절단률에 비례하여 대역폭을 적용한다. 또한 핸드오프 호를 위해 예약 자원(대역폭)을 두어 핸드오프 호가 더 많은 자원을 사용할 수 있게 한다.

먼저 신규 호가 발생하였을 때, 두 번째 계층까지의 셀들 중 가장 큰 차단률을 P_{nmax} 라 하고 신규 호 요구를 받은 셀의 차단률을 P_n 이라 하자. 그러면 신규 호 요구를 받은 셀의 대역폭(W_n)은 식 (6)과 같이 주어진다.

$$W_n = P_n / P_n^{max} \times W \quad (6)$$

그리고 핸드오프 호를 위한 예약 자원을 r 이라 하면 신규 호의 수락 영역은 식(5)와 식 (6)으로부터 식 (7)과 같이 된다.

$$\sum_{j=1}^J \kappa_{mj}^m \cdot N_{mj} + \sum_{p=1, p \neq mj=1}^M \sum_{j=1}^J \kappa_{pj}^m \cdot N_{pj} \leq W_n(1-r) \quad (7)$$

마찬가지로 핸드오프 호의 요구가 있을 경우, 두 번째 계층까지의 셀들 중 가장 큰 절단률을 P_{hmax} 라 하고 핸드오프 호 요구를 받은 셀의 절단률을 P_h 이라 하자. 그러면 핸드오프 호 요구를 받은 셀의 대역폭(W_h)은 식 (8)과 같이 주어진다.

$$W_h = P_h / P_h^{max} \times W \quad (8)$$

따라서 핸드오프 호의 수락 영역은 식 (5)와 식(8)로부터 식 (9)와 같이 된다.

$$\sum_{j=1}^J \kappa_{mj}^m \cdot N_{mj} + \sum_{p=1, p \neq mj=1}^M \sum_{j=1}^J \kappa_{pj}^m \cdot N_{pj} \leq W_h \quad (9)$$

그림 1은 본 논문에서 사용한 호 제어 알고리즘의 흐름도를 보여준다. 즉 각 기지국에서 신규 호에 대한 요구가 있으면 식 (7)에 따른 호 수락 제어 영역을 만족하는지 확인한다. 호 수락 제어 영역을 만족하면 요구

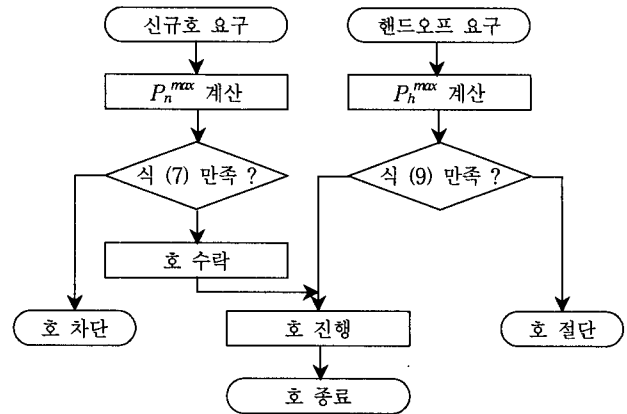


그림 1. 호 수락 제어 흐름도
Fig. 1. The flowchart of call admission control.

한 신규 호를 수락한다. 핸드오프 요구 호에 대해서는 식 (9)에 따른 핸드오프 호 수락 제어 영역을 만족하는지 확인한 후, 만족하면 호를 진행시킨다.

IV. 모의실험 환경

모의실험에서 사용할 시스템 환경은 다음과 같다. 각 셀은 육각형 모양의 구조를 가지며 중심 셀, 1 계층 셀, 2 계층 셀로 구성한다. 셀 구성은 그림 2와 같다. 셀의 반경은 1km로 가정한다.

호의 도착 시간 간격과 통화 시간은 지수 분포를 따르고 평균통화시간은 120초로 하였다. 이동 가입자의 속도는 [0, 50] (km/h) 사이에서 일정(uniform) 분포를 가지며, 이동 가입자의 이동 방향은 [0, 360] 사이에서 일정분포를 갖는다. 트래픽은 모든 셀에서 균일하게 발생시킨다. 시스템에 추가되는 평균 트래픽의 발생 간격

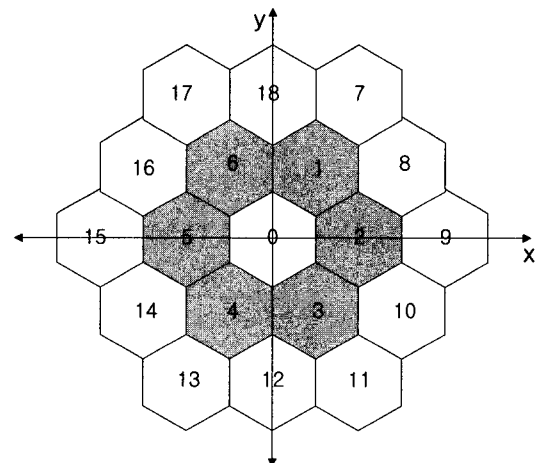


그림 2. 셀 배치도
Fig. 2. The cell layout.

표 1. 호의 도착 시간 간격

Table 1. The inter arrival time of a call.

부가되는 평균 트래픽	트래픽의 발생 간격
150	1
50	3
30	5
21.42857	7
16.66667	9

표 2. 등가대역

Table 2. Effective bandwidth.

계층	서비스 형태	등가 대역폭	평균 대역폭
중심	1	27.29659	19.2
	2	153.6335	76.8
1	1	1.635356	1.223
	2	8.695591	4.89216
2	1	0.606039	0.46272
	2	3.159918	1.85088

은 표 1과 같이 가정한다. 또한 대역폭은 $W=1.25\text{Mbps}$ 이고 서비스 형태는 2가지를 적용한다. 서비스형태 1은 전송속도가 9.6Kbps인 서비스이고 서비스형태 2는 전송속도가 19.2Kbps인 서비스 형태로, $(E_b/N_o)_1 = 7\text{dB}$, $(E_b/N_o)_2 = 10\text{dB}$ 로 가정한다. 서비스 형태 1과 서비스 형태 2의 호 발생 비율은 4대 1로 하였다.

식 (4)의 좌변이 대역폭(W)을 초과할 확률을 ≈ 0.01 로, 음성 활동 계수(voice activity factor)는 0.4로 하였다. 전력의 경로손실 지수는 4로 하였으며 섀도우 페이딩(shadow fading)의 표준 편차는 10dB로 하였다. 위의 수치를 적용하여 계산한 등가 대역은 표 2와 같다. 그리고 평균 대역폭은 다음과 같이 구하여 진다.

$$E[a_{p\bar{s}} \cdot R \cdot (E_b/N_o)_{p\bar{s}} \cdot X_{p\bar{s}}^{(m)}] = E[a_{p\bar{s}}] \cdot R \cdot (E_b/N_o)_{p\bar{s}} \cdot E[X_{p\bar{s}}^{(m)}]$$

여기에서 $E[X_{p\bar{s}}^{(m)}]$ 은 M. A. Landolsi의 결과를 이용하였다^[12].

따라서 제안한 신규호의 수락 영역과 핸드오프 호에 대한 수락 영역은 식 (7)과 식 (9)로부터 식 (10)과 식 (11)과 같이 얻어진다.

$$27.3N_{11} + 153.6N_{12} + \sum_{k=2}^7 (1.6N_{k1} + 8.7N_{k2}) + \sum_{k=8}^{19} (0.6N_{k1} + 3.2N_{k2}) \leq W_n(1-r) \tag{10}$$

$$27.3N_{11} + 153.6N_{12} + \sum_{k=2}^7 (1.6N_{k1} + 8.7N_{k2}) + \sum_{k=8}^{19} (0.6N_{k1} + 3.2N_{k2}) \leq W_h \tag{11}$$

본 모의 실험을 위해 자원 예약율은 $r=0.0, 0.1, 0.2, 0.3, 0.4$ 로 하였다.

V. 결과 분석

그림 3은 신규 호에 대해 호 수락 영역을 결정하는 부등식 (10)과 부등식 (11)에서 핸드오프 호에 대해 자원 예약율을 달리 하였을 경우에 대해, 서비스 형태 1의 신규 호에 대한 차단률을 보이고 있다. 그림에서 알 수 있듯이 핸드오프 호를 위해 예약한 자원이 적을수록 차단률이 낮아짐을 알 수 있다.

그림 4는 핸드오프 호에 대해 자원 예약율을 달리 하였을 경우에 대해, 서비스 형태 2의 신규 호에 대한 차단률을 보이고 있다. 그림에서 알 수 있듯이 핸드오프

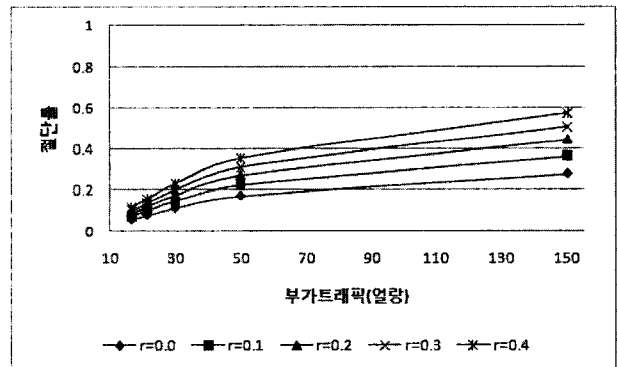


그림 3. 신규 호의 차단률(서비스 형태 1)
Fig. 3. The blocking probability of new calls(service type 1).

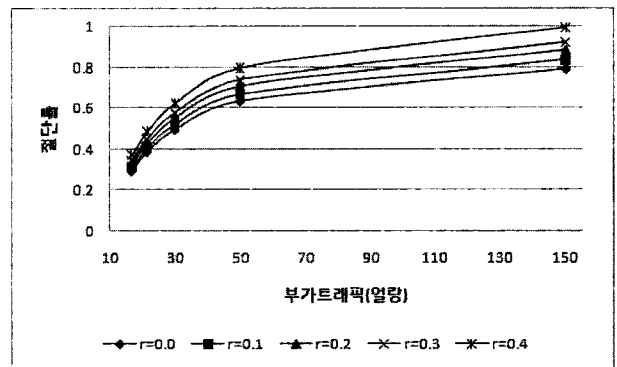


그림 4. 신규 호의 차단률(서비스 형태 2)
Fig. 4. The blocking probability of new calls(service type 2).

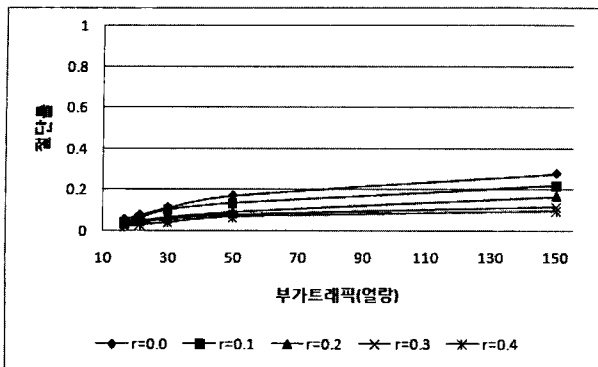


그림 5. 핸드오프 호의 절단률(서비스 형태 1)

Fig. 5. The dropping probability of handoff calls(service type 1).

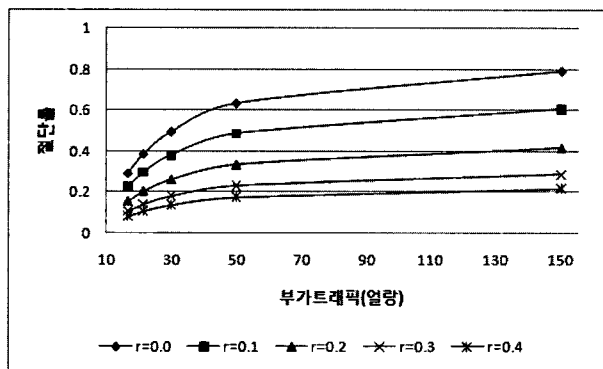


그림 6. 핸드오프 호의 절단률(서비스 형태 2)

Fig. 6. The dropping probability of handoff calls(service type 2).

호를 위해 예약한 자원이 적을수록 차단률이 낮아짐을 알 수 있다. 또한 서비스 형태 2는 한 호에 대해 보다 많은 대역폭을 요구하기 때문에 서비스 형태 1보다 높은 차단률을 보이고 있다.

그림 5는 핸드오프 호에 대해 자원 예약률을 달리 하였을 경우에 대해, 서비스 형태 1의 핸드오프 호에 대한 절단률을 보이고 있다. 그림에서 알 수 있듯이 핸드오프 호를 위해 예약한 자원이 많을수록 절단률이 낮아짐을 알 수 있다. 핸드오프 호를 위해 예약된 자원이 없는 경우는 신규호의 차단률과 비슷한 경향을 보인다.

그림 6은 핸드오프 호에 대해 자원 예약률을 달리 하였을 경우에 대해, 서비스 형태 2의 핸드오프 호에 대한 절단률을 보이고 있다. 그림에서 알 수 있듯이 핸드오프 호를 위해 예약한 자원이 많을수록 절단률이 낮아짐을 알 수 있다.

VI. 결 론

본 논문에서는 다중 셀 환경 하에서 다양한 형태의

서비스를 수용하면서 핸드오프 호를 위해 자원을 예약할 경우의 호 제어 방법을 고찰하였다. 신규 호와 핸드오프 호에 대한 호 수락 제어는 등가대역에 근간을 둔 제어 방법과 각 셀에서의 대역폭은 각 기지국에서 이동 가입자의 신규 호의 차단률과 핸드오프 호의 절단률에 따라 가변시켜 적용하였다. 그 결과 핸드오프 호를 위해 자원을 예약해 두면 핸드오프 호에 대한 절단률은 낮출 수 있지만 신규 호에 대한 차단률이 상대적으로 증가함을 알 수 있다. 따라서 핸드오프 호를 위한 예약 자원을 둘 것인지, 또는 얼마만큼의 예약 자원을 둘 것인지는 시스템의 환경에 따라 결정해야 할 요소이다.

본 모의 실험 결과 전송률이 다른 서비스 형태 간에 차단률과 절단률이 상당한 차이가 나타났다. 따라서 향후 연구 방향으로 서비스 형태에 관계없이 차단률과 절단률이 낮으면서 거의 비슷하게 나타날 수 있는 방법이 연구되어야 할 것이다.

참 고 문 헌

- [1] J.Evans and D.Everitt, "Call admission control in multiple service DS CDMA cellular networks," VTC'96, pp.227~231, 1996.
- [2] V.Kapoor, G. Edwards, and R. Sankar, "Handover Criteria for Personal Communication Networks," Proc. ICC'94, pp. 1297~1301, May, 1994.
- [3] Ghorashi, S.A., Said, F., Aghvami, A.H., "Handover rate control in hierarchically structured cellular CDMA systems," Personal, Indoor and Mobile Radio Communications, 2003. PIMRC 2003. 14th IEEE Proceedings on, pp.2083~2087, 2003.
- [4] TIA/EIA/IS 95 Interim Standard, Mobile Station Base Station compatibility Standard for Dual Mode Wideband Spread Spectrum Cellular System, Telecommunication Industry Association, 1993.
- [5] Guan, S.-y., Gao, K.-n., Wang, G.-x, "Study of Soft-Handover of Double Queues Model in CDMA Mobile Communication Network," Xiao xing wei xing ji suan ji xi tong Mini-micro systems, v.27 no.2, pp.250~252, 2006.
- [6] Y.B. Lin and S.Mohan, "Queueing priority channel assignment strategies ofr PCS hand off and initial access," IEEE Trans. on Vech. Tech., Vol. 43, No. 3, pp.704~712, Aug. 1994.
- [7] Yang, Linlin, Huang, Zhenan, Wang, Wenbo,

"Fuzzy logic based handover in MC-CDMA system," Circuits and Systems, 2005. ISCAS 2005. IEEE International Symposium on, pp.5158~5161, 2005.

[8] R.F. Chang and S.W. Wang, "QOS based call admission control for intergrated voice and data in CDMA systems," PIMRC'96, 1996.

[9] P.R. Larijani, N. Movahedinia, and R.H.M. Hafez, "Admission control for multimedia traffic in CDMA network," The 8th Int. Conf. On Wireless Comm., 1996.

[10] R.F. Chang and S.W. Wang, "QOS based call admission control for intergrated voice and data in CDMA systems," PIMRC'96, 1996.

[11] 성홍석, 임승철, 이동명, 박동선, "부하가 균일하지 않은 다중 셀 환경에서의 호 제어 방법," 한국통신학회, Vol.24, No.3A, pp.367~373, 1999.

[12] M.A.Landolsi et. Al, "New Results on the Reverse Link Capacity of CDMA Cellular Networks," Proc. ICC, pp. 1462~1466, 1996.

저 자 소 개



이 종 갑(정회원)
 1983년 충남대학교 전자공학과
 학사 졸업.
 1988년 숭실대학교 전자및컴퓨터
 공학과 석사 졸업.
 2006년 숭실대학교 미디어공학과
 박사과정 수료.

2008년~현재 부천대학 강의전담교수
 <주관심분야 : 이동통신, 모바일 콘텐츠, IPTV>



성 홍 석(평생회원)
 1986년 서강대학교 전자공학과
 학사 졸업.
 1988년 서강대학교 전자공학과
 석사 졸업.
 1997년 서강대학교 전자공학과
 박사 졸업.

2000년~현재 부천대학 전자과 부교수
 <주관심분야 : 이동통신, 지능제어, 적응제어>